

## ЭНЕРГИЯ СВЯЗИ ЭКСИТОНОВ В МАГНИТОСМЕШАННЫХ ПОЛУПРОВОДНИКАХ В МАГНИТНОМ ПОЛЕ

Семенов Ю. Г., Стефанович В. А.

Для гексагонального магнитосмешанного полупроводника (МСП), энергетические зоны которого расщеплены по спину эффективным обменным полем  $G$ , решена задача об энергии связи экситонов  $R^{\text{ex}}$ , образованных носителями заряда из определенных спиновых подзон. Показано, что в актуальном случае  $H \parallel c_6$  ( $H$  — внешнее магнитное поле,  $c_6$  — ось 6-го порядка МСП) поле  $G$  ( $\parallel H$ ) может заметно повлиять на эффективные массы в  $B$ - и  $C$ -дырочных подзонах, при этом для разных спиновых состояний по-разному. В результате появляется зависимость  $R^{\text{ex}}$  от  $G$  для экситонов, соответствующих данным дырочным подзонам. Численные оценки, проведенные для  $\text{Cd}_{1-x}\text{Mn}_x\text{S}$ , показали, что энергия связи экситонов, зависящая от магнитного поля, заметно изменяет расщепление  $\pi$ -компонент экситонных переходов.

1. Исследования оптических спектров экситонов продолжают оставаться одним из основных источников новой информации о зонной структуре магнитосмешанных полупроводников (МСП) и константах носительного обменного взаимодействия  $J$ . При этом наблюдаемые в магнитном поле  $H$  при низких температурах гигантские спиновые расщепления (ГСР) экситонных спектров отражения обычно описываются как результат проявления обменного взаимодействия носителей заряда, связанных в экситон, с магнитными ионами в приближении среднего поля  $G_{e, (h)}$  (индексы  $e$  и  $h$  относятся к электрону и дырке соответственно). Соответствующие ГСР энергетических зон МСП в этом приближении описывает квазизеemanовский гамильтониан  $\mathcal{H}_e = G_b S_b$ , где  $S_b$  — спин электрона ( $b=e$ ) либо дырки ( $b=h$ ):

$$G_b = -J_b x \langle S_i \rangle. \quad (1)$$

Здесь  $x$  — степень замещения катионов в МСП типа  $\text{A}_{1-x}\text{Mn}_x\text{B}^{\text{VI}}$  на магнитные ионы,  $\langle S_i \rangle$  — среднее значение вектора спинового момента, наведенного внешним магнитным полем, при вычислении которого учитываются спин-спиновые взаимодействия в подсистеме магнитных ионов. Поскольку величина  $G_e$  может достигать десятков, а  $G_h$  даже сотен мэВ, структура энергетических зон МСП, определяемая  $kr$ -гамильтонианом, дополненным  $\mathcal{H}_e$ , претерпевает качественные изменения в сравнительно слабых магнитных полях. Данные эффекты широко обсуждались в литературе [1-4], в частности, в связи с анализом спектров экситонных переходов, энергии которых описываются в общем случае выражением

$$E_{n,p}^{\text{ex}} = E_0^{\text{ex}} + E_n^e - E_p^h - (R_{n,p}^{\text{ex}} - R_0^{\text{ex}}), \quad (2)$$

где  $E_0^{\text{ex}}$  и  $R_0^{\text{ex}}$  — энергии соответствующего экситонного перехода и диссоциации экситона при  $H=0$ ,  $E_n^e$ ,  $E_p^h$  — сдвиги краев электронных и дырочных спиновых подзон ( $n$  и  $p$  — их номера), вызванные как зеемановским расщеплением с зонным  $g$ -фактором, так и вкладом обменного поля (1),  $R_{n,p}^{\text{ex}}$  — энергия диссоциации экситона в магнитном поле  $H$  (диамагнитными эффектами при определении  $E_{n,p}^{\text{ex}}$  как правило можно пренебречь [4]).

Заметим, однако, что при анализе экситонных спектров в МСП, согласно выражению (2), зависимости  $R_{n,p}^{ex}$  от магнитного поля и номеров спиновых подзон не учитывались, несмотря на существенные различия дисперсионных кривых в различных дырочных подзонах, отмеченные еще в [5]. При этом наблюдаемые расщепления между спиновыми компонентами экситонных спектров были отнесены только на счет сдвигов экстремумов  $E_n^a$  и  $E_p^b$  соответствующих подзон. Правомочность такого подхода обсуждалась в [3, 6], где для случая кубического МСП была отмечена независимость инерционной эффективной массы дырок  $\bar{m}_h$ , определяющей основной вклад дырок в приведенную эффективную массу экситона  $\bar{\mu}$ , от  $p$  и  $\mathbf{H}$ . В настоящей работе мы обращаем внимание на то, что в гексагональных МСП типа  $\text{Cd}_{1-x}\text{Mn}_x\text{S}$  появляются зависимости  $\bar{m}_h$  от  $p$  и  $\mathbf{H}$ , способные привести к наблюдаемым отклонениям  $R_{n,p}^{ex}$  от  $R_0^{ex}$  в (2).

2. Для вычисления  $R_{n,p}^{ex}$  мы ограничимся актуальным для эксперимента случаем  $\mathbf{H} \parallel c$ , где  $c$  — ось 6-го порядка гексагонального МСП. Гамильтониан, описывающий валентные  $A$ -,  $B$ - и  $C$ -зоны, в этом случае имеет вид ( $z \parallel c$ ) [7]

$$\mathcal{H} = G_x S_x + \Delta_1 L_x^2 + 2\Delta_2 L_x S_x + \Delta_3 (L_+ S_- + L_- S_+) + (A_1 + A_3 L_x^2) k_x^2 + (A_2 + A_4 L_x^2) (k_x^2 + k_y^2) + \dots, \quad (3)$$

где первый член описывает вклад обменного поля (1), индекс дырочной зоны для простоты опущен,  $\Delta_1, \Delta_2, \Delta_3$  — константы кристаллического поля и анизотропного спин-орбитального взаимодействия,  $A_1, A_2, \dots$  — зонные параметры гексагонального полупроводника,  $L$  — оператор углового момента дырки ( $L=1$ ),  $V_{\pm} = V_x \pm iV_y$  для произвольного вектора  $\mathbf{V}$ . В (3) не выписаны явно несущественные для дальнейшего слагаемые, обращающиеся в нуль при  $k=0$ . В  $\Gamma$ -точке ( $k=0$ ), отвечающей экстремумам электронной и дырочной зон, собственными векторами гамильтониана (3) являются следующие линейные комбинации собственных функций  $|+\rangle$ ,  $|-\rangle$  оператора  $S_x$  и  $|1\rangle = (x+iY)/\sqrt{2}$ ,  $|0\rangle = -Z$ ,  $|-1\rangle = -(x-iY)/\sqrt{2}$  оператора  $L_x$  ( $X, Y, Z$  — волновые функции валентного электрона) [8, 9]:

$$\begin{aligned} |A^{\pm}\rangle &= |\pm 1\rangle |\pm\rangle; \\ |B^{\pm}\rangle &= \sqrt{(1+\xi_{\pm})/2} |\pm 1\rangle |\mp\rangle + \sqrt{(1-\xi_{\pm})/2} |0\rangle |\pm\rangle; \\ |C^{\pm}\rangle &= \pm \sqrt{(1-\xi_{\pm})/2} |\pm 1\rangle |\mp\rangle \mp \sqrt{(1+\xi_{\pm})/2} |0\rangle |\pm\rangle, \end{aligned} \quad (4)$$

где

$$\xi_{\pm} = (\Delta_1 - \Delta_2 \mp G_x) / \sqrt{(\Delta_1 - \Delta_2 \mp G_x)^2 + 8\Delta_3^2}. \quad (5)$$

Формулы (3)–(5) однозначно определяют энергии всех шести спиновых подзон, а также соответствующие им тензоры обратных эффективных масс. Симметрии рассматриваемой задачи отвечают две независимые компоненты:  $(1/m)_{xx} = m_{\parallel}^{-1}$  и  $(1/m)_{yy} = m_{\perp}^{-1}$ , выражения для которых при условии пренебрежения в (3) малыми линейными по  $k$  слагаемыми принимают вид

$$\begin{aligned} \frac{1}{m_{\parallel}^p} &= \frac{1}{\hbar^2} \langle p | \frac{\partial^2 \mathcal{H}}{\partial k_x^2} | p \rangle = \frac{2}{\hbar^2} [A_1 + A_3 L_p(G_x)]; \\ \frac{1}{m_{\perp}^p} &= \frac{1}{\hbar^2} \langle p | \frac{\partial^2 \mathcal{H}}{\partial k_x^2} | p \rangle = \frac{2}{\hbar^2} [A_2 + A_4 L_p(G_x)]. \end{aligned} \quad (6)$$

Индекс  $p$  отвечает любому из состояний в (4), а матричные элементы  $L_p(G_x) = \langle p | L_x^2 | p \rangle$ , вычисленные на функциях (4), приведены в таблице; их зависимость от  $G_x$  определяется формулами (5). Таким образом, благодаря влиянию эффективного обменного поля (1) на смешивание состояний отщепленной  $C$ -зоны с  $B$ -зоной гексагонального МСП магнитное поле может изменить эффективные массы в этих подзонах, причем для различных спиновых состояний по-разному.

$$I_p(C) = \langle p | I_z^2 | p \rangle$$

$p$	$A^+$	$A^-$	$B^+$	$B^-$	$C^+$	$C^-$
$I_p(G)$	1	1	$(1 + \xi_+)/2$	$(1 + \xi_-)/2$	$(1 - \xi_+)/2$	$(1 - \xi_-)/2$

В какой мере данный эффект проявится в ГСР экситонных спектров из-за влияния на  $R_n^{\text{ex}}, p$  в (2), можно определить, если воспользоваться, например, результатами вариационного расчета энергии  $R^{\text{ex}}$  кулоновского центра в аксиально анизотропном кристалле [7]. Роль эффективных масс при этом играют приведенные массы экситона

$$\mu_{\parallel} = \frac{m_{\parallel}^h m^e}{m_{\parallel}^h + m^e}, \quad \mu_{\perp} = \frac{m_{\perp}^h m^e}{m_{\perp}^h + m^e}, \quad (7)$$

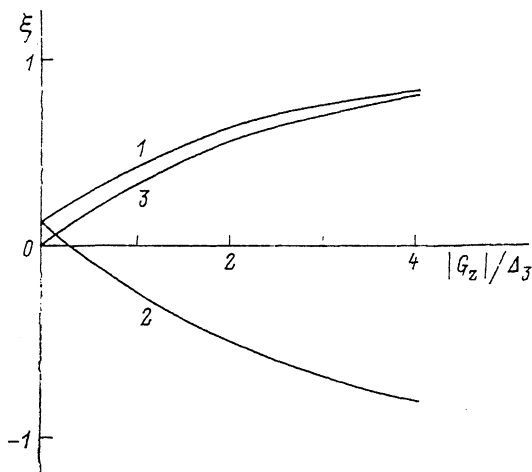
различие которых мало вследствие изотропного закона дисперсии в зоне проводимости (здесь мы используем эмпирически установленный факт  $m_{\perp}^e = m_{\parallel}^e = m^e$  для гексагональных  $A^{II}B^{VI}$ ) и сравнительно малой массы электрона. Последнее обстоятельство при вычислении  $R^{\text{ex}} = R^{\text{ex}}(\gamma)$ ,  $\gamma = \mu_{\perp}/\mu_{\parallel}$  позволяет воспользоваться разложением по малому параметру  $1 - \gamma$ , в котором отсутствует линейный по этому параметру член, если в качестве нулевого приближения выбрать

$$\bar{R}^{\text{ex}} = \frac{\bar{\mu} e^4}{2x^2 \hbar^2}, \quad \frac{1}{\bar{\mu}} = \frac{1}{3\mu_{\parallel}} + \frac{2}{3\mu_{\perp}} = \frac{1}{m^e} + \frac{1}{3m_{\parallel}^h} + \frac{2}{3m_{\perp}^h}, \quad (8)$$

где  $\bar{\mu}$  — инерционная приведенная масса экситона, определяемая в общем случае как  $\bar{\mu} = 3/\text{Sp}(\hat{\mu}^{-1})$  ( $\hat{\mu}^{-1}$  — соответствующий тензор). В результате вычислений находим

$$R^{\text{ex}}(\gamma) = \bar{R}^{\text{ex}} \left[ 1 + \frac{5}{63} (1 - \gamma)^2 + \dots \right], \quad (9)$$

где члены высших порядков по  $(1 - \gamma)$  для практически всех возможных ситуаций в  $A^{II}B^{VI}$  вносят сравнительно малый вклад в  $R^{\text{ex}}(\gamma)$ . Таким образом, выражение (8) решает поставленную задачу, если для эффективных масс дырок воспользоваться значениями (6). Подставляя (6) в (8), окончательно находим



Магнитополевые зависимости факторов  $\xi_+$  (1);  $\xi_-$  (2) и  $\frac{1}{2}(\xi_+ - \xi_-)$  (3), полученные с учетом зонных параметров CdS.

зависимость  $\bar{\mu}$  от величины обменного поля, определяющую данную зависимость для энергии ионизации экситонов  $R_{n,p}^{\text{ex}}$  в (2):

$$m_0/\bar{\mu} = m_0/m^* + a_0 + a'L_p(G_z), \quad (10)$$

где введены безразмерные параметры ( $m_0$  — масса свободного электрона):

$$a_0 = \frac{1}{3} a_1 + \frac{2}{3} a_2; \quad a' = \frac{1}{3} a_3 + \frac{2}{3} a_4; \quad a_i = \frac{2m_0 A_i}{\hbar^2}, \quad i = 1, 2, 3, 4. \quad (11)$$

Заметим, что случаю кубического полупроводника отвечают соотношения [7]  $A_3 = -2A_4 = A_2 - A_1$ , откуда следует, что в кубических МСП нельзя ожидать сколько-нибудь заметного изменения  $R_{n,p}^{\text{ex}}$  с ростом  $G_z$ , так как для этих кристаллов  $a' = 0$ . Таким образом, влияние на энергию диссоциации экситонов проявляется лишь в меру отклонения соотношений между зонными параметрами от диктуемых кубической симметрией. По этой причине и для гексагональных МСП типа  $A_{1-x}^{II}Mn_xB^{VI}$  рассматриваемый эффект ожидается не очень сильным. Математически это выражается в том, что последний член в (10) является малым по сравнению с суммой первых двух, а влияние поля (1) на энергию экситона описывается простым выражением

$$R^{\text{ex}} = R_0^{\text{ex}} \left\{ 1 - \frac{\mu_0}{m_0} a' [L_p(G_z) - L_p(0)] \right\}, \quad (12)$$

где  $m_0/\mu_0 = m_0/m^* + a_0$ .

Сдвиги энергий, обусловленные вторым слагаемым в (12), приведут, например, к изменениям ГСР  $E_{B(C)}^- - E_{B(C)}$   $B$ - и  $C$ -экситонов на величины  $\Delta E_R(G_z)$  и  $-\Delta E_R(G_z)$  соответственно, где

$$\Delta E_R(G_z) = R_0^{\text{ex}} \frac{\mu_0}{m_0} a' (\xi_+ - \xi_-)/2. \quad (13)$$

Таким образом, рассматриваемый эффект может приводить как к усилению, так и ослаблению ГСР  $B$ - и  $C$ -экситонных переходов в зависимости от того, совпадают либо различаются знаки разностей  $E_{B(C)}^- - E_{B(C)}$  и  $\xi_+ - \xi_-$ .

3. В качестве иллюстрации эффекта рассмотрим сдвиги ГСР (13) для гексагонального МСП  $Cd_{1-x}Mn_xS$ . При этом мы будем пользоваться зонными параметрами  $CdS$ :  $\Delta_1 = 28.4$ ;  $\Delta_2 = 20.9$ ;  $\Delta_3 = 20.7$  мэВ [8],  $a_1 = 4.04$ ;  $a_2 = 0.36$ ;  $a_3 = -3.71$ ;  $a_4 = 2.02$ , которым соответствуют энергии экстремумов дырочных зон  $E_A^v = 49.3$ ;  $E_B^v = 33.3$ ;  $E_C^v = -25.8$  мэВ и эффективные массы  $m^* = 0.205$ ; а также  $m_h^+ = 3.03$ ;  $0.51$  и  $m_h^- = 0.42$ ;  $0.67$  (в единицах  $m_0$ ) для  $A$ - и  $B$ -зон соответственно при  $H = 0$ . Данным значениям отвечают  $a' = 0.11$  и  $a_0 = 1.59$ ,  $\mu_0/m_0 = 0.155$ . Вычисленные зависимости факторов  $1/2 (\xi_+ - \xi_-)$ ,  $\xi_+$  и  $\xi_-$  от  $|G_z|/\Delta_3$  приведены на рисунке, при этом мы учли знак  $G_z < 0$ , отвечающий в (1)  $J_h < 0$  для всех известных МСП  $A_{1-x}^{II}Mn_xB^{VI}$ . С учетом того, что  $R_0^{\text{ex}} \approx 29$  мэВ, видно, что предсказываемый теорией сдвиг ГСР (13) составляет для  $Cd_{1-x}Mn_xS$   $0.3 - 0.4$  мэВ при условии  $|G_z| \geq \Delta_3$ , реализуемом при не слишком больших концентрациях магнитной компоненты.

Так, в эксперименте [8], проведенном для этого МСП при  $X = 1.3$  %, величина  $|G_z|/\Delta_3$  достигала 3.2, в то время как наблюдаемое расщепление  $\pi$ -компонент  $B$ -экситона  $\Delta E^{\pi} \approx 2.5$  мэВ. Вклад рассмотренного эффекта в это расщепление, как видно из проведенных оценок, составляет 15 %, и поэтому его следует учитывать наряду с ГСР энергетических зон МСП.

В заключение отметим, что компоненты тензора эффективных масс дырочных  $B$ - и  $C$ -зон в обменном поле (1), согласно формулам (6), изменяются сравнительно сильнее, чем  $R^{\text{ex}}$ , что может потребовать учета данного обстоятельства при анализе диффузии экситонов либо эффектов пространственной дисперсии светоекситонов.

Список литературы

- [1] Комаров А. В., Рябченко С. М., Терлецкий О. В., Жеру И. И., Иванчук Р. Д. // ЖЭТФ. 1977. Т. 73. В. 8. С. 608—618.
- [2] Galazka R. R. // Lect. Notes Phys. 1982. V. 152. N 2. P. 294—301.
- [3] Рябченко С. М., Семенов Ю. Г. // Спектроскопия кристаллов. Л., 1983. С. 206—225.
- [4] Рябченко С. М. // Изв. АН СССР. Сер. Физика. 1982. Т. 46. В. 3. С. 440—445.
- [5] Gai J. A., Cinter J., Galazka R. R. // Phys. St. Sol. (b). 1978. V. 89. N 2. P. 655—662.
- [6] Семенов Ю. Г. // ФТП. 1985. Т. 19. В. 11. С. 2047—2051.
- [7] Бир Г. Л., Пикус Г. Е. Симметрия и деформационные эффекты в полупроводниках. М., 1972. 584 с.
- [8] Nawrocki M., Lascaray J. P., Coquillat D., Demianiuk M. // MRS Symp. proc. / Ed. by R. L. Aggarwal, J. K. Furdyna, S. von Molnar. 1987. V. 89. N 1. P. 65—70.
- [9] Gubarev S. I. // Phys. St. Sol. (b). 1986. V. 134. N 1. P. 211—222.

Институт полупроводников  
АН Украины  
Киев

Получена 17.06.1991  
Принята к печати 21.08.1991